


ANTENNE I - ANTENNE PER SISTEMI DI TELECOMUNICAZIONI
 Prof. G. Pelosi - Laboratorio di Elettromagnetismo Numerico
 Dipartimento di Elettronica e Telecomunicazioni - Università di Firenze

Lezione 4 – Parametri fondamentali delle antenne (parte I)




LEZIONE 4

PARAMETRI FONDAMENTALI DELLE ANTENNE (parte I)

Giuseppe Pelosi
 Dipartimento di Elettronica e Telecomunicazioni
 Università di Firenze
 E-mail: giuseppe.pelosi@unifi.it
 URL: <http://ingfi9.det.unifi.it/>

1/32



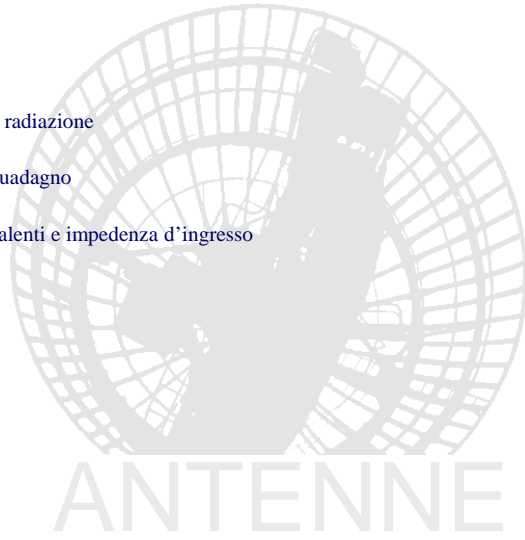
ANTENNE I - ANTENNE PER SISTEMI DI TELECOMUNICAZIONI
 Prof. G. Pelosi - Laboratorio di Elettromagnetismo Numerico
 Dipartimento di Elettronica e Telecomunicazioni - Università di Firenze

Lezione 4 – Parametri fondamentali delle antenne (parte I)

LEZIONE 4


PARAMETRI FONDAMENTALI DELLE ANTENNE

- Diagrammi di radiazione
- Direttività e guadagno
- Circuiti equivalenti e impedenza d'ingresso



ANTENNE

2/32



ANTENNE I - ANTENNE PER SISTEMI DI TELECOMUNICAZIONI
 Prof. G. Pelosi - Laboratorio di Elettromagnetismo Numerico
 Dipartimento di Elettronica e Telecomunicazioni - Università di Firenze

Lezione 4 – Parametri fondamentali delle antenne (parte I)

LEZIONE 4

PARAMETRI FONDAMENTALI DELLE ANTENNE


- Diagrammi di radiazione

- Direttività e guadagno
- Circuiti equivalenti e impedenza d'ingresso



ANTENNE

3/32



ANTENNE I - ANTENNE PER SISTEMI DI TELECOMUNICAZIONI
 Prof. G. Pelosi - Laboratorio di Elettromagnetismo Numerico
 Dipartimento di Elettronica e Telecomunicazioni - Università di Firenze

Lezione 4 – Parametri fondamentali delle antenne (parte I)

COS'È UN'ANTENNA?

Un'antenna è un sistema di interfaccia, bi-direzionale, tra propagazione guidata e propagazione nello spazio libero.

Antenna in trasmissione


assorbe potenza da una linea di trasmissione, a cui è connessa, per poi irradiare tale potenza nello spazio.

Antenna in ricezione

investita da una radiazione elettromagnetica proveniente dallo spazio circostante, dissipa potenza sul carico su cui è chiusa la linea di trasmissione ad essa connessa.

Per qualunque sistema radiante vale il principio di reciprocità secondo il quale un'antenna irradia energia elettromagnetica nello spazio con le stesse proprietà con le quali essa può riceverla, purché la frequenza sia la stessa in ricezione e in trasmissione.

4/32



ANTENNE I - ANTENNE PER SISTEMI DI TELECOMUNICAZIONI
Prof. G. Pelosi - Laboratorio di Elettromagnetismo Numerico
Dipartimento di Elettronica e Telecomunicazioni - Università di Firenze


Lezione 4 – Parametri fondamentali delle antenne (parte I)

ANTENNA ISOTROPA

L'antenna isotropa è una sorgente puntiforme che irradia con lo stesso campo in tutte le direzioni.

Tale antenna, che è solamente teorica, è utile come elemento di confronto per molti tipi di antenne, le cui prestazioni possono esprimersi meglio facendo riferimento a questo radiatore elementare.

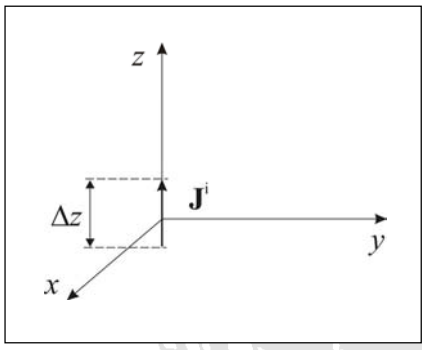
5/32



ANTENNE I - ANTENNE PER SISTEMI DI TELECOMUNICAZIONI
Prof. G. Pelosi - Laboratorio di Elettromagnetismo Numerico
Dipartimento di Elettronica e Telecomunicazioni - Università di Firenze

Lezione 4 – Parametri fondamentali delle antenne (parte I)

DIPOLO ELETTRICO CORTO (dec)



$$\begin{cases} E_r^{(e)} = \zeta \frac{I \Delta z}{2\pi} \left(\frac{1}{r^2} + \frac{1}{jkr^3} \right) \cos \vartheta e^{-jkr} \\ E_\vartheta^{(e)} = \zeta \frac{I \Delta z}{4\pi} \left(\frac{jk}{r} + \frac{1}{r^2} + \frac{1}{jkr^3} \right) \sin \vartheta e^{-jkr} \\ E_\phi^{(e)} = 0 \end{cases}$$


$$\begin{cases} H_r^{(e)} = 0 \\ H_\vartheta^{(e)} = 0 \\ H_\phi^{(e)} = \frac{I \Delta z}{4\pi} \left(\frac{jk}{r} + \frac{1}{r^2} \right) \sin \vartheta e^{-jkr} \end{cases}$$

Campi radiativi

$$\mathbf{E}^{(e)} = E_\vartheta^{(e)} \hat{\vartheta} = jk\zeta \frac{I \Delta z}{4\pi r} \sin \vartheta e^{-jkr} \hat{\vartheta}$$

$$\mathbf{H}^{(e)} = H_\phi^{(e)} \hat{\phi} = \frac{\hat{r} \times \mathbf{E}^{(e)}}{\zeta} = \frac{E_\vartheta^{(e)}}{\zeta} \hat{\phi} = jk \frac{I \Delta z}{4\pi r} \sin \vartheta e^{-jkr} \hat{\phi}$$

6/32



ANTENNE I - ANTENNE PER SISTEMI DI TELECOMUNICAZIONI
 Prof. G. Pelosi - Laboratorio di Elettromagnetismo Numerico
 Dipartimento di Elettronica e Telecomunicazioni - Università di Firenze

Lezione 4 – Parametri fondamentali delle antenne (parte I)

DIPOLO ELETTRICO CORTO (dec)


Modulo del campo elettrico in zona lontana

$$\mathbf{E}^{(e)} = E_{\theta}^{(e)} \hat{\theta} = jk\zeta \frac{I \Delta z}{4\pi r} \sin \vartheta e^{-jkr} \hat{\theta}$$

$$|\mathbf{E}^{(e)}| = |E_{\theta}^{(e)}| = k\zeta \frac{|I| \Delta z}{4\pi r} \sin \vartheta$$

$$|\mathbf{E}^{(e)}|_{\max} = |E_{\theta}^{(e)}|_{\max} = k\zeta \frac{|I| \Delta z}{4\pi r} \quad \text{per } \vartheta = \frac{\pi}{2}$$

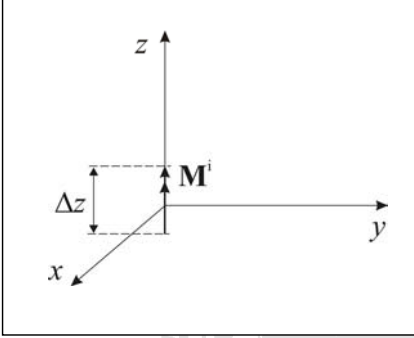
7/32



ANTENNE I - ANTENNE PER SISTEMI DI TELECOMUNICAZIONI
 Prof. G. Pelosi - Laboratorio di Elettromagnetismo Numerico
 Dipartimento di Elettronica e Telecomunicazioni - Università di Firenze

Lezione 4 – Parametri fondamentali delle antenne (parte I)

DIPOLO MAGNETICO CORTO (dmc)



$$\begin{cases} E_r^{(m)} = 0 \\ E_{\theta}^{(m)} = 0 \\ E_{\phi}^{(m)} = -\frac{I_m \Delta z}{4\pi} \left(\frac{jk}{r} + \frac{1}{r^2} \right) \sin \vartheta e^{-jkr} \end{cases}$$

$$\begin{cases} H_r^{(m)} = \frac{1}{\zeta} \frac{I_m \Delta z}{2\pi} \left(\frac{1}{r^2} + \frac{1}{jkr^3} \right) \cos \vartheta e^{-jkr} \\ H_{\theta}^{(m)} = \frac{1}{\zeta} \frac{I_m \Delta z}{4\pi} \left(\frac{jk}{r} + \frac{1}{r^2} + \frac{1}{jkr^3} \right) \sin \vartheta e^{-jkr} \\ H_{\phi}^{(m)} = 0 \end{cases}$$

Campi radiativi

$$\mathbf{E}^{(m)} = E_{\phi}^{(m)} \hat{\phi} = -jk \frac{I_m \Delta z}{4\pi r} \sin \vartheta e^{-jkr} \hat{\phi}$$

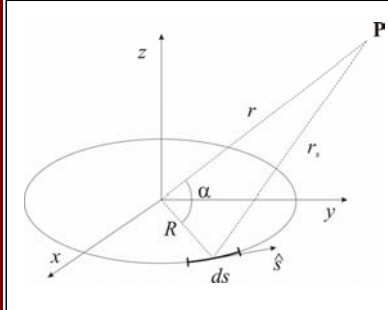
$$\mathbf{H}^{(m)} = H_{\theta}^{(m)} \hat{\theta} = \frac{\hat{r} \times \mathbf{E}^{(m)}}{\zeta} = -\frac{E_{\phi}^{(m)}}{\zeta} \hat{\theta} = j \frac{k}{\zeta} \frac{I_m \Delta z}{4\pi r} \sin \vartheta e^{-jkr} \hat{\theta}$$

8/32



Lezione 4 – Parametri fondamentali delle antenne (parte I)

ANTENNA A LOOP (a spira o a telaio)



Campi radiativi

$$\mathbf{E}^{(s)} = E_{\phi}^{(s)} \hat{\phi} = k\omega\mu \frac{I_s (R^2 \pi)}{4\pi r} \sin \vartheta e^{-jkr} \hat{\phi}$$

$$\mathbf{H}^{(s)} = H_{\vartheta}^{(s)} \hat{\vartheta} = \frac{\hat{r} \times \mathbf{E}^{(s)}}{\zeta} = -\frac{E_{\phi}^{(s)}}{\zeta} \hat{\vartheta} = -\frac{k\omega\mu I_s (R^2 \pi)}{4\pi r} \sin \vartheta e^{-jkr} \hat{\vartheta}$$

$$\begin{cases} E_1^{(s)} = 0 \\ E_1^{(s)} = 0 \\ E_1^{(s)} = -\frac{j\omega\mu (R^2 \pi) I_s}{4\pi} \left(\frac{jk}{r} + \frac{1}{r^2} \right) \sin \vartheta e^{-jkr} \\ H_1^{(s)} = \frac{j\omega\mu (\pi R^2) I_s}{2\pi} \frac{1}{\zeta} \left(\frac{1}{r^2} + \frac{1}{jkr^3} \right) \cos \vartheta e^{-jkr} \\ H_1^{(s)} = \frac{j\omega\mu (\pi R^2) I_s}{4\pi} \frac{1}{\zeta} \left(\frac{jk}{r} + \frac{1}{r^2} + \frac{1}{jkr^3} \right) \sin \vartheta e^{-jkr} \\ H_1^{(s)} = 0 \end{cases}$$

dmc equivalente

$$I_m \Delta z = j\omega\mu \Delta s I_s$$

con $\Delta s = \pi R^2$

9/32



Lezione 4 – Parametri fondamentali delle antenne (parte I)

DIPOLLO MAGNETICO CORTO (dmc)

Modulo del campo elettrico in zona lontana

$$\mathbf{E}^{(m)} = E_{\phi}^{(m)} \hat{\phi} = -jk \frac{I_m \Delta z}{4\pi r} \sin \vartheta e^{-jkr} \hat{\phi}$$

$$|\mathbf{E}^{(m)}| = |E_{\phi}^{(m)}| = k \frac{|I_m| \Delta z}{4\pi r} \sin \vartheta$$


$$|\mathbf{E}^{(m)}|_{\max} = |E_{\phi}^{(m)}|_{\max} = k \frac{|I_m| \Delta z}{4\pi r} \text{ per } \vartheta = \frac{\pi}{2}$$

spira equivalente

$$I_m \Delta z = j\omega\mu \Delta s I_s$$

con $\Delta s = \pi R^2$

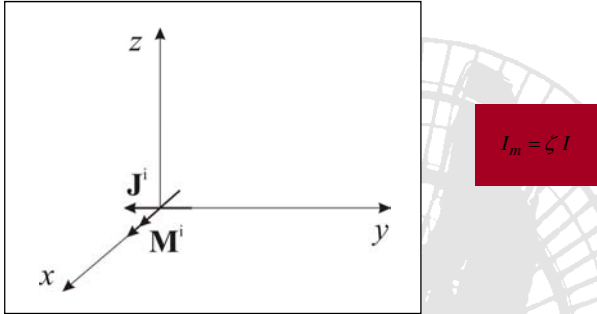
10/32



ANTENNE I - ANTENNE PER SISTEMI DI TELECOMUNICAZIONI
 Prof. G. Pelosi - Laboratorio di Elettromagnetismo Numerico
 Dipartimento di Elettronica e Telecomunicazioni - Università di Firenze

Lezione 4 – Parametri fondamentali delle antenne (parte I)


SORGENTE DI HUYGENS



$$\mathbf{E}^{(H)}(\mathbf{r}) = jk \frac{I_m \Delta l}{4\pi} \frac{e^{-jkr}}{r} (1 + \cos \vartheta) (\sin \hat{\phi} \hat{\vartheta} + \cos \phi \hat{\phi})$$

$$\mathbf{H}^{(H)}(\mathbf{r}) = \frac{1}{\zeta} \hat{r} \times \mathbf{E}^{(H)}(\mathbf{r}) = j \frac{k}{\zeta} \frac{I_m \Delta l}{4\pi} \frac{e^{-jkr}}{r} (1 + \cos \vartheta) (\sin \hat{\phi} \hat{\phi} - \cos \phi \hat{\vartheta})$$

11/32



ANTENNE I - ANTENNE PER SISTEMI DI TELECOMUNICAZIONI
 Prof. G. Pelosi - Laboratorio di Elettromagnetismo Numerico
 Dipartimento di Elettronica e Telecomunicazioni - Università di Firenze

Lezione 4 – Parametri fondamentali delle antenne (parte I)

SORGENTE DI HUYGENS

Modulo del campo elettrico in zona lontana

$$\mathbf{E}^{(H)}(\mathbf{r}) = jk \frac{I_m \Delta l}{4\pi} \frac{e^{-jkr}}{r} (1 + \cos \vartheta) (\sin \hat{\phi} \hat{\vartheta} + \cos \phi \hat{\phi})$$


$$E_{\vartheta}^{(H)} = jk \frac{I_m \Delta l}{4\pi} \frac{e^{-jkr}}{r} (1 + \cos \vartheta) \sin \phi$$

$$E_{\phi}^{(H)} = jk \frac{I_m \Delta l}{4\pi} \frac{e^{-jkr}}{r} (1 + \cos \vartheta) \cos \phi$$

$$|\mathbf{E}^{(H)}(\mathbf{r})| = |\mathbf{E}_{\vartheta}^{(H)} \hat{\vartheta} + \mathbf{E}_{\phi}^{(H)} \hat{\phi}| = \sqrt{|\mathbf{E}_{\vartheta}^{(H)}|^2 + |\mathbf{E}_{\phi}^{(H)}|^2} = k \frac{|I_m| \Delta l}{4\pi r} (1 + \cos \vartheta)$$

$$|\mathbf{E}^{(H)}(\mathbf{r})|_{\max} = 2k \frac{|I_m| \Delta l}{4\pi r} \quad \text{per } \vartheta = 0$$

12/32



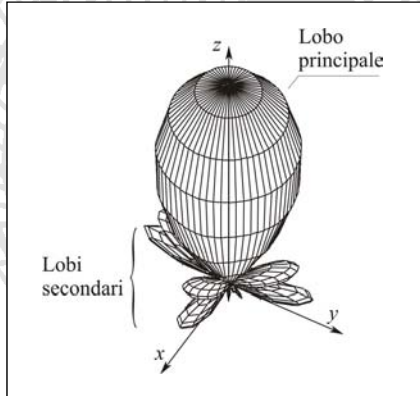
ANTENNE I - ANTENNE PER SISTEMI DI TELECOMUNICAZIONI
 Prof. G. Pelosi - Laboratorio di Elettromagnetismo Numerico
 Dipartimento di Elettronica e Telecomunicazioni - Università di Firenze

Lezione 4 – Parametri fondamentali delle antenne (parte I)


DIAGRAMMI DI RADIAZIONE

Solido di radiazione

segmento proporzionale al modulo del campo elettrico irradiato, $|\mathbf{E}|$, riportato in ogni direzione dello spazio, a partire dall'origine del sistema di coordinate associato all'antenna



13/32



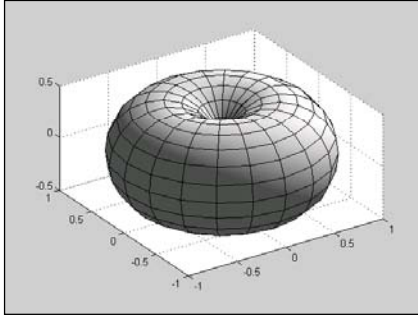
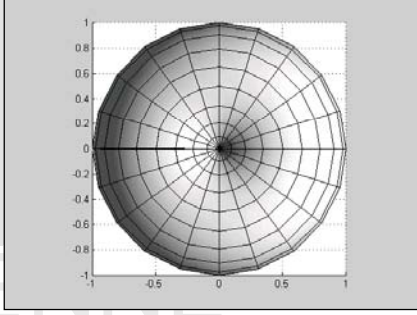
ANTENNE I - ANTENNE PER SISTEMI DI TELECOMUNICAZIONI
 Prof. G. Pelosi - Laboratorio di Elettromagnetismo Numerico
 Dipartimento di Elettronica e Telecomunicazioni - Università di Firenze

Lezione 4 – Parametri fondamentali delle antenne (parte I)

DIAGRAMMI DI RADIAZIONE - dec

$$|\mathbf{E}^{(e)}| = |E_{\vartheta}^{(e)}| = k\zeta \frac{|I|\Delta z}{4\pi} \sin \vartheta \quad \left| \mathbf{E}^{(e)} \right|_{\max} = |E_{\vartheta}^{(e)}|_{\max} = k\zeta \frac{|I|\Delta z}{4\pi} \quad \text{per } \vartheta = \frac{\pi}{2}$$

$$\frac{|\mathbf{E}^{(e)}|}{|\mathbf{E}^{(e)}|_{\max}} = \sin \vartheta$$

14/32



Lezione 4 – Parametri fondamentali delle antenne (parte I)

DIAGRAMMI DI RADIAZIONE - dmc

$$|\mathbf{E}^{(m)}| = |E_{\phi}^{(m)}| = k \frac{|I_m| \Delta z}{4\pi r} \sin \vartheta$$

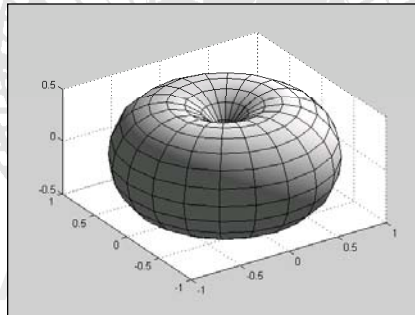
spira equivalente

$$I_m \Delta z = j \omega \mu \Delta s I_s$$

$$\text{con } \Delta s = \pi R^2$$

$$|\mathbf{E}^{(m)}|_{\max} = |E_{\phi}^{(m)}|_{\max} = k \frac{|I_m| \Delta z}{4\pi r} \quad \text{per } \vartheta = \frac{\pi}{2}$$

$$|\mathbf{E}^{(m)}| / |\mathbf{E}^{(m)}|_{\max} = \sin \vartheta$$



15/32



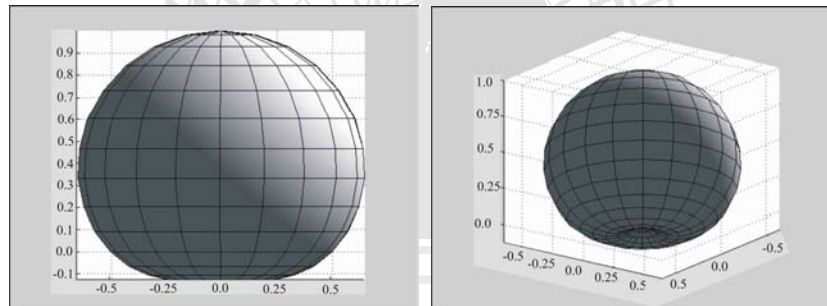
Lezione 4 – Parametri fondamentali delle antenne (parte I)

DIAGRAMMI DI RADIAZIONE – Sorgente di Huygens

$$|\mathbf{E}^{(H)}(\mathbf{r})| = |\mathbf{E}_{\vartheta}^{(H)} \hat{\vartheta} + \mathbf{E}_{\phi}^{(H)} \hat{\phi}| = \sqrt{|\mathbf{E}_{\vartheta}^{(H)}|^2 + |\mathbf{E}_{\phi}^{(H)}|^2} = k \frac{|I_m| \Delta l}{4\pi r} (1 + \cos \vartheta)$$

$$|\mathbf{E}^{(H)}(\mathbf{r})|_{\max} = 2k \frac{|I_m| \Delta l}{4\pi r} \quad \text{per } \vartheta = 0$$

$$|\mathbf{E}^{(H)}| / |\mathbf{E}^{(H)}|_{\max} = \frac{1 + \cos \vartheta}{2}$$



16/32





ANTENNE I - ANTENNE PER SISTEMI DI TELECOMUNICAZIONI
 Prof. G. Pelosi - Laboratorio di Elettromagnetismo Numerico
 Dipartimento di Elettronica e Telecomunicazioni - Università di Firenze

Lezione 4 – Parametri fondamentali delle antenne (parte I)

DIAGRAMMI DI RADIAZIONE


Diagrammi di radiazione
opportune sezioni piane del solido di radiazione

Le sezioni riportate sono tipicamente relative a due piani fra loro perpendicolari.

I piani utilizzati per effettuare le sezioni sono spesso il piano E, contenente il vettore del campo elettrico e la direzione di massima radiazione, e il piano H, contenente il vettore del campo magnetico e la direzione di massima radiazione.

I diagrammi di radiazione possono essere normalizzati rispetto al loro valore massimo ed alternano massimi a minimi, presentando quelli che sono noti come lobi di radiazione

17/32

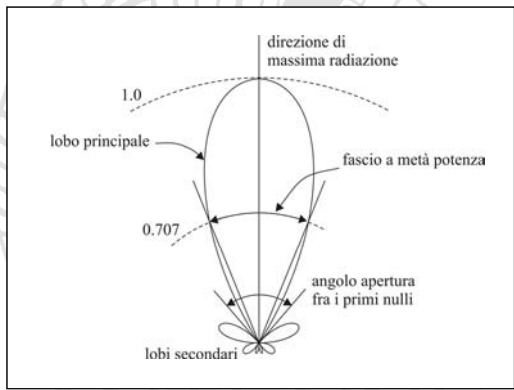


ANTENNE I - ANTENNE PER SISTEMI DI TELECOMUNICAZIONI
 Prof. G. Pelosi - Laboratorio di Elettromagnetismo Numerico
 Dipartimento di Elettronica e Telecomunicazioni - Università di Firenze


Lezione 4 – Parametri fondamentali delle antenne (parte I)

DIAGRAMMI DI RADIAZIONE

Diagramma di radiazione in coordinate polari



18/32

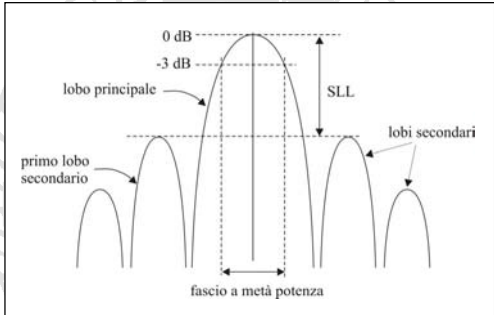


ANTENNE I - ANTENNE PER SISTEMI DI TELECOMUNICAZIONI
 Prof. G. Pelosi - Laboratorio di Elettromagnetismo Numerico
 Dipartimento di Elettronica e Telecomunicazioni - Università di Firenze

Lezione 4 – Parametri fondamentali delle antenne (parte I)


DIAGRAMMI DI RADIAZIONE

Diagramma di radiazione in coordinate cartesiane



$$20 \log_{10} \frac{|E(r)|}{|E|_{\max}}$$

19/32



ANTENNE I - ANTENNE PER SISTEMI DI TELECOMUNICAZIONI
 Prof. G. Pelosi - Laboratorio di Elettromagnetismo Numerico
 Dipartimento di Elettronica e Telecomunicazioni - Università di Firenze

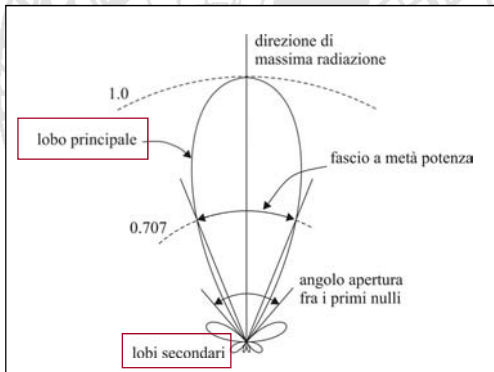
Lezione 4 – Parametri fondamentali delle antenne (parte I)

DIAGRAMMI DI RADIAZIONE

Parametri principali che caratterizzano i diagrammi di radiazione

Lobo principale
lobo che contiene la direzione di massima radiazione

Lobi secondari
sono i lobi che si sviluppano in direzione diversa da quella di massima radiazione



20/32

Lezione 4 – Parametri fondamentali delle antenne (parte I)

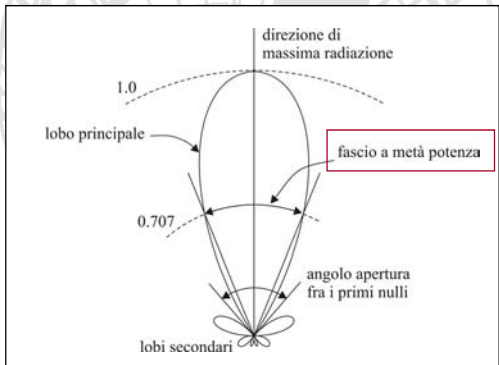
DIAGRAMMI DI RADIAZIONE

Parametri principali che caratterizzano i diagrammi di radiazione

Angolo di apertura a metà potenza, o fascio a metà potenza
Half Power Beamwidth, HPBW

angolo fra le due direzioni in cui il modulo del campo elettrico è : $|\mathbf{E}(\mathbf{r})| = |\mathbf{E}|_{\max} / \sqrt{2}$

Tale angolo fornisce in pratica una misura di quanto l'energia irradiata sia concentrata intorno alla direzione di massima radiazione



21/32

Lezione 4 – Parametri fondamentali delle antenne (parte I)

DIAGRAMMI DI RADIAZIONE


Parametri principali che caratterizzano i diagrammi di radiazione

First Nulls Beamwidth, FNBW

angolo di apertura del lobo principale fra i primi due nulli del diagramma di radiazione



22/32



ANTENNE I - ANTENNE PER SISTEMI DI TELECOMUNICAZIONI
 Prof. G. Pelosi - Laboratorio di Elettromagnetismo Numerico
 Dipartimento di Elettronica e Telecomunicazioni - Università di Firenze

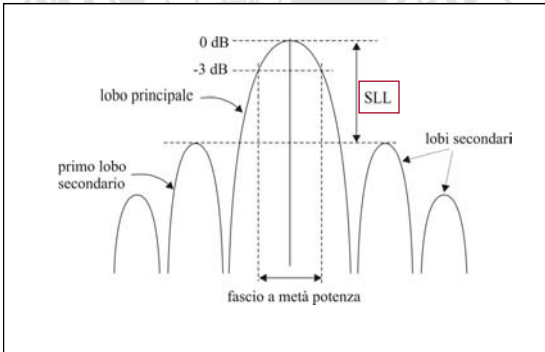
Lezione 4 – Parametri fondamentali delle antenne (parte I)

DIAGRAMMI DI RADIAZIONE

Parametri principali che caratterizzano i diagrammi di radiazione


Side Lobe Level, SLL

rapporto fra l'ampiezza massima presentata dal diagramma di radiazione nel primo lobo secondario e l'ampiezza del lobo principale



The diagram shows a radiation pattern with a central main lobe (lobo principale) and several side lobes (lobi secondari). The main lobe is labeled with 0 dB at its peak and -3 dB at its base. The first side lobe on the left is labeled 'primo lobo secondario'. The first side lobe on the right is labeled 'lobi secondari'. A vertical arrow labeled 'SLL' indicates the ratio between the peak of the first side lobe and the peak of the main lobe. A horizontal double-headed arrow at the base of the main lobe is labeled 'fascio a metà potenza'.

23/32



ANTENNE I - ANTENNE PER SISTEMI DI TELECOMUNICAZIONI
 Prof. G. Pelosi - Laboratorio di Elettromagnetismo Numerico
 Dipartimento di Elettronica e Telecomunicazioni - Università di Firenze

Lezione 4 – Parametri fondamentali delle antenne (parte I)

LEZIONE 4

PARAMETRI FONDAMENTALI DELLE ANTENNE

- Diagrammi di radiazione
- Direttività e guadagno
- Circuiti equivalenti e impedenza d'ingresso

ANTENNE

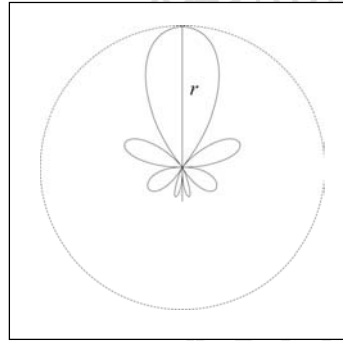
24/32



Lezione 4 – Parametri fondamentali delle antenne (parte I)

DIRETTIVITÀ

potenza radiata da un'antenna isotropa per
 creare un campo di modulo $|\mathbf{E}|$ in un punto $\mathbf{P}(r, \vartheta, \phi)$
 potenza necessaria all'antenna presa in considerazione
 per ottenere il campo $|\mathbf{E}|$ nel punto $\mathbf{P}(r, \vartheta, \phi)$



$$D(\vartheta, \phi) = \lim_{r \rightarrow \infty} \frac{4\pi r^2 \frac{1}{2} \frac{|\mathbf{E}|^2}{\zeta}}{P_r}$$

$P_r \rightarrow$ potenza radiata dall'antenna

25/32



Lezione 4 – Parametri fondamentali delle antenne (parte I)

DIPOLLO ELETTRICO CORTO (dec)

Potenza radiata

$$\mathbf{E}^{(e)} = E_{\vartheta}^{(e)} \hat{\vartheta} = jk\zeta \frac{I \Delta z}{4\pi r} \sin \vartheta e^{-jkr} \hat{\vartheta} \quad |\mathbf{E}^{(e)}| = |E_{\vartheta}^{(e)}| = \left| jk\zeta \frac{I \Delta z}{4\pi r} \sin \vartheta e^{-jkr} \right| = k\zeta \frac{|I| \Delta z}{4\pi r} \sin \vartheta$$

$$P_r^{(e)} = \Re \left\{ \iint_S \frac{1}{2} (\mathbf{E}^{(e)} \times \mathbf{H}^{(e)*}) \cdot \hat{\mathbf{r}} dS \right\} = \iint_S \frac{1}{2\zeta} |\mathbf{E}^{(e)}|^2 dS = \int_0^{2\pi} \int_0^{\pi} \frac{1}{2\zeta} k^2 \zeta^2 \frac{|I|^2 \Delta z^2}{(4\pi)^2 r^2} \sin^2 \vartheta r^2 \sin \vartheta d\vartheta d\phi =$$

$$= \frac{1}{2} k^2 \zeta \frac{|I|^2 \Delta z^2}{(4\pi)^2} \int_0^{2\pi} \int_0^{\pi} \sin^3 \vartheta d\vartheta d\phi = \frac{1}{2} k^2 \zeta \frac{|I|^2 \Delta z^2}{(4\pi)^2} 2\pi \int_0^{\pi} \sin^3 \vartheta d\vartheta = \frac{1}{2} k^2 \zeta \frac{|I|^2 \Delta z^2}{(4\pi)^2} 2\pi \frac{4}{3} = \frac{1}{3} k^2 \zeta \frac{|I|^2 \Delta z^2}{4\pi}$$

$$P_r^{(e)} = \frac{1}{3} k^2 \zeta \frac{|I|^2 \Delta z^2}{4\pi}$$

$$P_r^{(e)} = \frac{1}{3} k^2 \zeta \frac{|I|^2 \Delta z^2}{4\pi} = \frac{1}{2} R_r^{(e)} |I|^2$$



$$R_r^{(e)} = \frac{2}{3} k^2 \zeta \frac{\Delta z^2}{4\pi}$$

resistenza di radiazione

26/32



Lezione 4 – Parametri fondamentali delle antenne (parte I)

DIPOLO ELETTRICO CORTO (dec)

Direttività

$$D^{(e)} = \lim_{r \rightarrow \infty} \frac{4\pi r^2 \frac{1}{2} \frac{|E^{(e)}|^2}{\zeta}}{P_r^{(e)}} = \frac{4\pi \frac{1}{2} k^2 \zeta^2 \frac{|I|^2 \Delta z^2}{(4\pi)^2} \sin^2 \vartheta}{\frac{1}{3} k^2 \zeta \frac{|I|^2 \Delta z^2}{4\pi}} = \frac{3}{2} \sin^2 \vartheta$$

$$D^{(e)} = \frac{3}{2} \sin^2 \vartheta \quad \Rightarrow \quad D_{\max}^{(e)} = \frac{3}{2}$$

direttività massima

$$D_{\max}^{(e)} (dB) = 10 \log_{10} \left(\frac{3}{2} \right) = 1.76 \text{ dB}$$

27/32

Lezione 4 – Parametri fondamentali delle antenne (parte I)

DIPOLO MAGNETICO CORTO (dmc)

Si utilizza il principio di dualità di Babinet

Potenza radiata

$$P_r^{(e)} = \frac{1}{3} k^2 \zeta \frac{|I|^2 \Delta z^2}{4\pi} = \frac{1}{2} R_r^{(e)} |I|^2 \quad \Rightarrow \quad P_r^{(m)} = \frac{1}{3} \frac{k^2}{\zeta} \frac{|I_m|^2 \Delta z^2}{4\pi}$$

Resistenza di radiazione

$$R_r^{(e)} = \frac{2}{3} k^2 \zeta \frac{\Delta z^2}{4\pi} \quad \Rightarrow \quad R_r^{(m)} = \frac{2}{3} \frac{k^2}{\zeta} \frac{\Delta z^2}{4\pi}$$

Direttività

$$D^{(e)} = \frac{3}{2} \sin^2 \vartheta \quad D_{\max}^{(e)} = \frac{3}{2} \quad \Rightarrow \quad D^{(m)} = \frac{3}{2} \sin^2 \vartheta \quad D_{\max}^{(m)} = \frac{3}{2} = 1.76 \text{ dB}$$

28/32

Lezione 4 – Parametri fondamentali delle antenne (parte I)

ANTENNA A LOOP (a spira o a telaio)

dmc equivalente: $I_m \Delta z = j \omega \mu \Delta s I_s$, con $\Delta s = \pi R^2$

Potenza radiata

$$P_r^{(m)} = \frac{1}{3} \frac{k^2}{\zeta} \frac{|I_m|^2 \Delta z^2}{4\pi} \Rightarrow P_r^{(s)} = \frac{1}{3} \frac{k^2}{\zeta} \frac{\omega^2 \mu^2 |I_s|^2 \Delta s^2}{4\pi}$$

Resistenza di radiazione

$$R_r^{(m)} = \frac{2}{3} \frac{k^2}{\zeta} \frac{\Delta z^2}{4\pi} \Rightarrow R_r^{(s)} = \frac{2}{3} \frac{k^2}{\zeta} \frac{\omega^2 \mu^2 \Delta s^2}{4\pi}$$

Direttività

$$D^{(m)} = \frac{3}{2} \sin^2 \vartheta \quad D_{\max}^{(m)} = \frac{3}{2} \Rightarrow D^{(s)} = \frac{3}{2} \sin^2 \vartheta \quad D_{\max}^{(s)} = \frac{3}{2} = 1.76 \text{ dB}$$

29/32

Lezione 4 – Parametri fondamentali delle antenne (parte I)

SORGENTE DI HUYGENS

$$\mathbf{E}^{(H)}(\mathbf{r}) = jk \frac{I_m \Delta l}{4\pi r} e^{-jkr} (1 + \cos \vartheta) (\sin \phi \hat{\vartheta} + \cos \phi \hat{\phi})$$

$$|\mathbf{E}^{(H)}| = \sqrt{|E_\vartheta^{(H)}|^2 + |E_\phi^{(H)}|^2} = k \frac{|I_m| \Delta l}{4\pi r} (1 + \cos \vartheta)$$

$$P_r^{(H)} = \Re \left\{ \iint_S \frac{1}{2} (\mathbf{E}^{(H)} \times \mathbf{H}^{(H)*}) \cdot \hat{\mathbf{r}} dS \right\} = \iint_S \frac{1}{2\zeta} |\mathbf{E}^{(H)}|^2 dS = \int_0^{2\pi} \int_0^\pi \frac{1}{2\zeta} k^2 \frac{|I_m|^2 \Delta l^2}{(4\pi)^2 r^2} (1 + \cos \vartheta)^2 r^2 \sin \vartheta d\vartheta d\phi =$$


$$= \frac{1}{2\zeta} k^2 \frac{|I_m|^2 \Delta l^2}{(4\pi)^2} \int_0^{2\pi} \int_0^\pi (1 + \cos \vartheta)^2 \sin \vartheta d\vartheta d\phi = \frac{1}{2\zeta} k^2 \frac{|I_m|^2 \Delta l^2}{(4\pi)^2} 2\pi \int_0^\pi (1 + \cos \vartheta)^2 \sin \vartheta d\vartheta =$$

$$= \frac{1}{2\zeta} k^2 \frac{|I_m|^2 \Delta l^2}{(4\pi)^2} 2\pi \frac{8}{3} = \frac{1}{6} \frac{k^2}{\zeta} \frac{|I_m|^2 \Delta l^2}{\pi} \Rightarrow P_r^{(H)} = \frac{1}{6} \frac{k^2}{\zeta} \frac{|I_m|^2 \Delta l^2}{\pi}$$

$$P_r^{(H)} = \frac{1}{6} \frac{k^2}{\zeta} \frac{|I_m|^2 \Delta l^2}{\pi} = \frac{1}{2} R_r^{(H)} |I_m|^2 \Rightarrow R_r^{(H)} = \frac{1}{3} \frac{k^2}{\zeta} \frac{\Delta l^2}{\pi}$$

resistenza di radiazione

30/32



ANTENNE I - ANTENNE PER SISTEMI DI TELECOMUNICAZIONI
 Prof. G. Pelosi - Laboratorio di Elettromagnetismo Numerico
 Dipartimento di Elettronica e Telecomunicazioni - Università di Firenze

Lezione 4 – Parametri fondamentali delle antenne (parte I)

SORGENTE DI HUYGENS

$$|\mathbf{E}^{(H)}| = k \frac{|I_m| \Delta l}{4\pi r} (1 + \cos \vartheta) \quad P_r^{(H)} = \frac{1}{6} \frac{k^2 |I_m|^2 \Delta l^2}{\zeta \pi}$$


Direttività

$$D^{(H)} = \lim_{r \rightarrow \infty} \frac{4\pi r^2 |\mathbf{E}^{(H)}|^2}{P_r^{(H)}} = \frac{4\pi r^2 k^2 \frac{|I_m|^2 \Delta l^2}{(4\pi r)^2} (1 + \cos \vartheta)^2}{\frac{1}{6} \frac{k^2 |I_m|^2 \Delta l^2}{\zeta \pi}} = \frac{3}{4} (1 + \cos \vartheta)^2$$

$$D^{(H)} = \frac{3}{4} (1 + \cos \vartheta)^2 \quad \Rightarrow \quad D_{\max}^{(H)} = 3 = 4.77 \text{ dB}$$

direttività massima

31/32



ANTENNE I - ANTENNE PER SISTEMI DI TELECOMUNICAZIONI
 Prof. G. Pelosi - Laboratorio di Elettromagnetismo Numerico
 Dipartimento di Elettronica e Telecomunicazioni - Università di Firenze

Lezione 4 – Parametri fondamentali delle antenne (parte I)

GUADAGNO

Se nella definizione di direttività D si sostituisce a P_r (potenza radiata), P_{in} (potenza fornita) si parla di guadagno.

Per un'antenna reale il guadagno in una direzione generica è minore della direttività, poiché una porzione della potenza fornita in ingresso viene persa (assorbita dall'antenna o dalle strutture che si trovano nelle sue immediate vicinanze) non compare come potenza radiata.

Antenna priva di perdite

\Rightarrow

$G = D$

Antenna con perdite

\Rightarrow

$G < D$

Spesso nella pratica si intende come guadagno (o direttività) di un'antenna il valore G_M (o D_M) che la funzione G (o D) assume nella direzione di massima radiazione.

Sia la direttività che il guadagno sono a volte espresse in dB (decibel)

$$G_{dB} = 10 \log_{10} G \quad D_{dB} = 10 \log_{10} D$$

32/32